

# РОЛЬ ГИБРИДИЗАЦИИ В ПОЛЯРОННОМ МЕХАНИЗМЕ ОБРАЗОВАНИЯ $U^-$ -ЦЕНТРОВ, МЯГКИХ И ДВУХЪЯМНЫХ ПОТЕНЦИАЛОВ

*К.Д.Цэндин*

*Физико-технический институт им. А.Ф.Иоффе  
194021, Санкт-Петербург*

Поступила в редакцию 14 апреля 1992 г.

Рассмотрен новый вариант поляронного механизма образования  $U^-$ -центров, справедливый в случае сильной гибридизации локализованного состояния с зонными. Показано, что электрон-фононное взаимодействие (ЭФВ) с учетом гибридизации описывает как появление  $U^-$ -центров, так и образование мягких и двухъямных потенциалов.

Известно, что большое количество экспериментальных фактов, касающихся полупроводников, хорошо объясняется с помощью предположения о существовании в этих материалах собственных дефектов с отрицательной эффективной энергией корреляции ( $U^-$ -центры). Главной особенностью  $U^-$ -центров является то, что в основном состоянии они не нейтральны, поскольку суммарная энергия заряженных состояний меньше, чем удвоенная энергия нейтрального состояния:

$$E_0^0 + E_2^0 - 2E_1^0 \equiv U^- < 0. \quad (1)$$

Нижние индексы  $n = 0, 1, 2$  соответствуют зарядовым состояниям центра  $D^+, D^0, D^-$ , поскольку считается, что в присутствии одного электрона на центре последний является нейтральным. Верхний индекс обозначает равновесные энергии. Формула (1) определяет эффективную энергию корреляции  $U^-$ . В <sup>1-8</sup> рассматривались различные механизмы появления  $U^-$ -центров, в том числе в <sup>4-8</sup> – полярный механизм.

В настоящей работе показана решающая роль гибридизации для поляронного механизма образования  $U^-$ -центров. Второй принципиальный результат работы заключается в том, что ЭФВ, рассмотренное с учетом гибридизации, само способно создать мягкие и двухъямные потенциалы, конфигурация которых зависит от зарядового состояния центра.

1. Рассмотрим простую модель, в которой валентную зону и зону проводимости заменим на двухкратнозаполненную связывающую орбиталь ( $\Psi_v, \epsilon_v$ ) и пустую антисвязывающую орбиталь ( $\Psi_c, \epsilon_c$ ) соответственно. Кулоновское отталкивание электронов ( $U$ ) учтем только на локализованном электронном уровне центра ( $\Psi_d, \epsilon_d$ ). Тогда электронная часть гамильтонiana модели есть гамильтониан Андерсона (Anderson) <sup>9</sup>

$$H = \sum_{i=v,c} [\epsilon_i a_{i\sigma}^\dagger a_{i\sigma} + (V_i a_{i\sigma}^\dagger a_{d\sigma} + \text{к.с.})] + \sum_{\sigma' \neq \sigma} \left[ \epsilon_d a_{d\sigma}^\dagger a_{d\sigma} + \frac{U}{2} a_{d\sigma}^\dagger a_{d\sigma} a_{d\sigma'}^\dagger a_{d\sigma'} \right], \quad (2)$$

где  $\sigma$  – спин, а  $V_{v,c}$  – параметры гибридизации зонных состояний  $\Psi_v$  и  $\Psi_c$  с локализованным состоянием  $\Psi_d$ .

Фононную составляющую полной энергии центра опишем классически:

$$H_{ph} = \frac{KX^2}{2}, \quad (3)$$

где  $K$  – коэффициент жесткости, а  $X$  – конфигурационная координата.

Пусть  $\Psi_{v,c,d}$  – собственные волновые функции (ВФ) гамильтониана (2) для случая  $n = 0$ ,  $X = 0$ . При  $X \neq 0$  разложим (2) и в первом приближении получим:

$$\epsilon_d = \epsilon_0 - \langle d | (\partial H / \partial X)_{X=0} | d \rangle X \equiv \epsilon_0 - QX, \quad V_{v,c} = \langle d | (\partial H / \partial X)_{X=0} | v, c \rangle X \equiv \tilde{v}_{v,c} X. \quad (4)$$

Все энергии измеряются в единицах запрещенной зоны:  $E_g = \epsilon_c - \epsilon_v = 1$ ,  $\epsilon_c = 0$ ,  $\epsilon_v = -1$ . Диагональным поляронным сдвигом состояний  $\epsilon_{v,c}$  пренебрежем. Задача, сформулированная в уравнениях (1)–(4), решалась в адиабатическом приближении точно. Для этого из функций  $\Psi_{v,c,d}$  строился полный набор многоэлектронных ВФ, включающий в себя 15, 18 и 15 ВФ для зарядовых состояний  $D^+$  ( $n = 0$ ),  $D^0$  ( $n = 1$ ) и  $D^-$  ( $n = 2$ ) соответственно. Затем для каждого  $X$  матрицы  $D^{0,\pm}$  численно диагонализировались, находилась минимальная энергия, к ней добавлялась фононная энергия (3) и строился терм полной энергии  $E_n(X)$ . Далее с помощью  $E_n^0$ , соответствующих минимумам термов  $E_n(X)$  по формуле (1) вычислялась  $U^-$ . Результаты расчета приведены на рис.1, где  $q = Q^2/KE_g$  и  $v = v_{v,c} = \tilde{v}_{v,c}Q/KE_q$ , а  $X$  измерялась в единицах  $Q/K$ . Рост  $|U^-|$  до минимума связан с гибридизацией уровней  $\epsilon_d$  и  $\epsilon_c$ , которая за счет их отталкивания увеличивает поляронный сдвиг уровня  $\epsilon_d$  и, соответственно,  $|U^-|$  в  $\sim B^2 = (1 + \sqrt{1 + v^2/q^2})^2/4$  раз<sup>1)</sup>. Гибридизация уровней  $\epsilon_d$  и  $\epsilon_v$  препятствует поляронному сдвигу уровня  $\epsilon_d$  и обуславливает уменьшение  $|U^-|$  после минимума. Эффект торможения поляронного сдвига для более сложных моделей рассматривался в <sup>7,10</sup>. При  $v \rightarrow \infty$ ,  $U^- \rightarrow 0$ , поскольку при этом доля  $\Psi_d$  состояния в ВФ локализованного состояния падает.

2. На рис.2а показаны результаты расчета терма  $E_0(X)$  для тех же значений  $\epsilon_0$ ,  $U$  и  $q$ , что и на рис.1. Видно, что учет гибридизации позволяет естественным образом описать появление собственных дефектов типа мягких и двухъямыых потенциалов, которые в этом случае связаны с конкуренцией диагонального ( $\sim qx$ ) и недиагонального ( $\sim vx$ ) вкладов в поляронный сдвиг.

Вторая причина появления двухъямыых (в общем случае многоямыых) потенциалов связана с совместным действием кулоновского отталкивания на уровне  $\epsilon_d$  и гибридизации. Например, в случае, когда  $\epsilon_d$  расположен снизу от  $\epsilon_c$  и не очень далеко от него, так что верхний уровень Хаббарда (Hubbard) расположен выше  $\epsilon_c$ , терм  $E_2(X)$  сходен с термом  $E_1(X)$  (левый минимум на рис.2б), поскольку второй электрон располагается не на верхнем уровне Хаббарда, а на уровне  $\epsilon_c$ . Затем, по мере роста  $X$ , верхний уровень Хаббарда пересекает уровень  $\epsilon_c$  и терм  $E_2(X)$  (правый минимум на рис.2б) перестает походить на терм  $E_1(X)$ . Гибридизация перемешивает термы и может сделать их минимумы лежащими примерно на одной и той же глубине, что продемонстрировано на примере трехъямыого потенциала на рис.2в.

3. Учет гибридизации радикально изменяет соотношение между величиной  $U^-$  и степенью мягкости потенциала, полученное в <sup>6,7</sup> для  $v = 0$ . Так слева от минимума на рис.1  $|U^-|$  растет, в то время как потенциал практически не смягчается. Справа же от минимума потенциалы становятся с ростом все более мягкими (рис.2а), но  $|U^-|$  при этом не растет, а уменьшается.

Одну и ту же величину  $U^-$  (точка А, рис.1) можно получить, во-первых, считая  $q$  большим (кривая 1), так что учет  $v$  только несколько увеличивает  $|U^-|$ , но принципиально результат тот же, что и в <sup>6,7</sup>. Во-вторых, считая  $q$  малым (кривые 2, 3) так, что без учета гибридизации  $U^-$  положительна. Видно, что в этом случае учет  $v$  делает  $U^-$  отрицательной и сравнимой по

<sup>1)</sup>Для  $\epsilon_0 \leq 0$ .

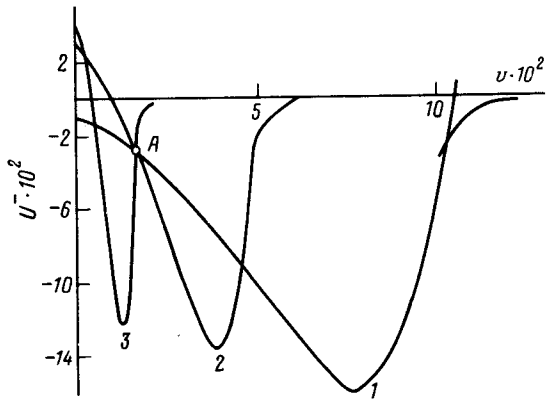


Рис.1.

Рис.1. Зависимость  $U^-$  от  $v$ . Величина  $q = 0,05; 0,01$  и  $0,001$  для кривых 1, 2, 3.  $\epsilon_0 = -0,02$ ,  $U = 0,04$

Рис.2. Координатная зависимость термов  $E_n(x)$ . а –  $n = 0$ ,  $\epsilon_0 = -0,02$ ,  $U = 0,04$ ,  $q = 0,05$ ,  $v = 0$ ;  $0,09$ ;  $0,1$ ;  $0,103$  и  $0,11$  для кривых 1, 2, 3, 4, и 5 соответственно; б –  $n = 2$ ,  $\epsilon_0 = -0,5$ ,  $U = 1,0$ ,  $q = 0,4$ ,  $v = 0,005$ ; в –  $n = 0$   $\epsilon_0 = -0,5$ ,  $U = 1,0$ ,  $q = 1,0$ ,  $v = 0,01$

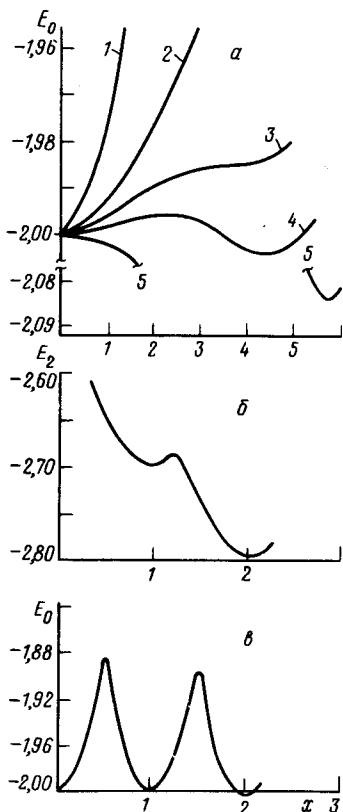


Рис.2.

величине с  $U^-$ , полученной в первом случае. В <sup>4-8</sup> предполагалось, что аномально большой поляронный сдвиг  $W \sim |U^-|/2 \sim 1\text{эВ}$  (в отличие от обычного масштаба  $\sim 0,1\text{эВ}$ ) в халькогенидных стеклообразных полупроводниках (ХСП) связан с локальной мягкостью потенциала:  $W \sim q/2$  при  $U, v \sim 0$ . В нашем же случае ( $v > q$ ) поляронный сдвиг аномально велик:  $W \sim qB^2/2$  (например, точка А, кривые 1, 2) даже для  $K \sim K_0$ . Таким образом, учет гибридизации позволяет описать аномально большие  $W$  в местах со средней жесткостью решетки, в которых за счет гибридизации энергетический масштаб вырос в  $\sim B^2$  раза. Сдвиг положений равновесия термов, при  $v = 0$  для  $Q \sim 3\text{эВ}/\text{\AA}$ ,  $K \sim 0,1K_0 \sim 3\text{эВ}/\text{\AA}^2$ <sup>7,8</sup> равен  $\Delta X \sim Q/K \sim 1\text{\AA}$ . В отличие от таких больших сдвигов, равных по порядку самой длине связи, в нашем случае ( $v \neq 0$ ),  $\Delta X \sim BQ/K_0$  и приблизительно на порядок меньше (для сравнимых  $U^-$ ), так как увеличение энергетических масштабов пропорционально  $B^2$ , а характерные масштабы зависят от  $B$  линейно. Важно, что при этом в характерный масштаб  $Q/K_0$  входит средний коэффициент жесткости решетки, а не  $K \ll K_0$ .

Масштаб сдвигов полученных с учетом  $v$  совпадает с масштабом искажений решетки в результате эффекта Яна-Теллера (Jahn-Teller), поскольку при  $\epsilon_d$  равном  $\epsilon_{v,c}$  или близком к ним, модель в качестве частных случаев описывает эффект или псевдоэффект Яна-Теллера соответственно<sup>11</sup>.

В<sup>2,3</sup> появление  $U^-$ -центров в ХСП связывалось с существованием в них электронов неподеленных пар, а наличие большого  $W$  постулировалось. В<sup>4-8</sup>  $U^-$ -центры и большой  $W$  описывались с единых позиций, предполагая независимое существование ЭФВ и мягких потенциалов.

Результаты настоящей работы свидетельствуют, что в случае  $v \sim q$  два последних предположения не являются независимыми и ЭФВ, рассмотренное с учетом гибридизации описывает как появление  $U^-$ , так и существование мягких и двухъярмых потенциалов.

В<sup>12</sup> был получен спектр  $U^-$ -центров в легированном ХСП, имеющий вид пика, расположенного вблизи акцепторного уровня  $\epsilon_a$ . Такой вид спектра можно объяснить гибридизацией состояний  $U^-$ -центров и акцепторного состояния  $\epsilon_a$ , которая из-за отталкивания уменьшает плотность состояний  $U^-$ -центров как над уровнем  $\epsilon_a$  (выталкивая их вверх), так и под ним (выталкивая их вниз). Рассмотренный механизм появления мягких и двухъярмых потенциалов с конфигурацией, зависящей от зарядового состояния, может иметь также отношение к фотоиндуцированным поглощению, анизотропии и бистабильности экспериментально наблюдаемым в ХСП<sup>13,14</sup>, которые при  $v \sim q$  могут быть связаны с небольшими атомными смещениями  $\sim BQ/K_0$ .

Автор благодарен Б.Л.Гельмонту за ценные советы, а также В.А.Харциеву, Л.Д.Цендину и В.Х.Шпунту за полезные дискуссии.

- 
1. P.W.Anderson, Phys. Rev. Lett. **34**, 953 (1975).
  2. R.A.Street, and N.F.Mott, Phys. Rev. Lett. **35**, 1293 (1975).
  3. M.Kastner, D.Adler, and H.Fritzsche, Phys. Rev. Lett. **37**, 1504 (1976).
  4. М.И.Клингер, Сб. "Проблемы совр. физики". Л.: Наука, 1980, с.293.
  5. М.И.Клингер, В.Г.Карпов, Письма в ЖЭТФ **8**, 1473 (1980).
  6. М.И.Клингер, В.Г.Карпов, ЖЭТФ **82**, 1687 (1982).
  7. В.Г.Карпов, ЖЭТФ **85**, 1017 (1983).
  8. С.Д.Барановский, В.Г.Карпов, ФТП **21**, 3 (1987).
  9. F.D.Haldane, and P.W.Anderson, Phys. Rev. B **13**, 2553 (1976).
  10. М.И.Клингер, С.Н.Тараскин, Тез. докл. 2-ой Всесоюзн. конференции физики стеклообраз. тв. тел. Рига-Лислупе, с.25, 1991.
  11. A.M.Stoneham, and M.Lanhoo, J. Phys. Chem. Sol. **30**, 1769 (1969).
  12. К.Д.Цендин, ФТП **25**, 617 (1991).
  13. V.M.Lyubin, and V.K.Tikhomirov. J. Non-Cryst. Sol. **114**, 133 (1989).
  14. В.М.Любин В.К.Тихомиров, Письма в ЖЭТФ **55**, 25 (1992).